

G. Instationäre Wärmeleitung

Zeitabhängige Wärmeleitprozesse in ruhenden Körpern

1. Integrale Kapazitätsmethode

Beschreibung des thermischen Zustandes eines Körpers durch eine einzige, zeitlich veränderliche Mitteltemperatur T_t .

Anwendung: Erwärmung / Abkühlung von

Werkstücken

Bauteilen

Trockengut

Tabletten

Konserven

...

bei thermischen Behandlungen

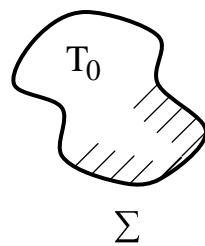
wie Verzinken, Lackieren, Trocknen

etc...

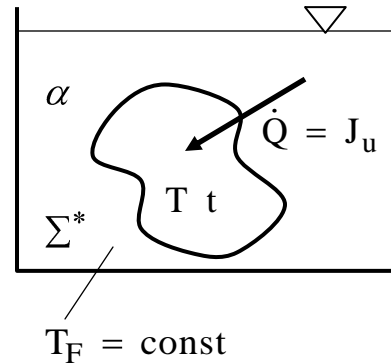
Tauchexperiment

Werkstück (Thermodynamisches System Σ)

Lager \rightarrow



Bad Σ^*



Definition der Körpertemperatur $T t$:

$$T t = \frac{\int_V c \rho T_{\underline{x},t} dV}{\int_V c \rho dV} \quad (0)$$

$$\underline{x} = x, y, z, \quad dV = dx dy dz$$

Energiebilanz

$$\Sigma : \quad \dot{U} = J_u = \dot{Q} \quad (1)$$

$$\text{Fourier } \dot{Q} = \alpha A (T_F - T t) \quad (2)$$

Vorzeichen : $\dot{Q} \geq 0$...Wärmezufuhr $\Sigma^* \rightarrow \Sigma$

Abkürzung

$$\theta(t) = T(t) - T_F \quad (3)$$

Kalorische Zustandsgleichung des Systems

$$U(\theta) = U_0 + cm\theta + O(\theta^2) \quad (4)$$

$$\dot{U}(t) = cm\dot{\theta}(t) \quad (4A)$$

$$1 - 4 : cm\dot{\theta} = -\alpha A\theta$$

$$\dot{\theta} = -\frac{1}{\tau}\theta \quad (5)$$

$$\tau = \frac{cm}{\alpha A} = \frac{1}{\alpha A} \cdot cm = R_{wü} \cdot C \quad (6)$$

Relaxationszeit des Wärmeprozesses, d.h. Angleichung $T \rightarrow T_F$.

Für $\tau \rightarrow \infty$, d.h. $\alpha \rightarrow 0$, $R_{wü} \rightarrow \infty$ oder

$C \rightarrow \infty$, d.h. $m \rightarrow \infty$ bleibt Temperaturdifferenz

$\theta \approx T - T_F$ lange bestehen.

Integration Gl. (5)

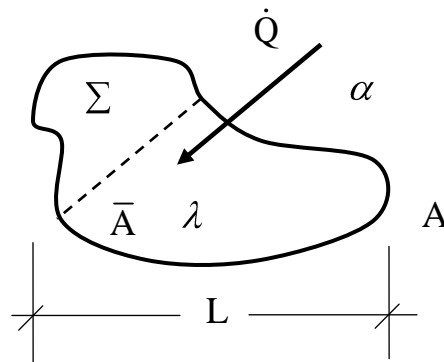
$$\theta(t) = \theta_0 e^{-t/\tau} \quad (7)$$

$$\theta_0 = \theta(t=0) \quad (7a)$$

$$\lim_{t \rightarrow \infty} \theta(t) = 0 \quad \rightarrow \quad \underline{T(\infty) = T_F} \quad (8)$$

Gültigkeits- /Anwendungsbereich Gl. (7)

V: Temperatenausgleich im Körper Σ_{R_w} muss rasch gegenüber
Wärmeaufnahme / Wärmeabgabe zwischen Körper Σ und
Bad Σ^* sein $R_{wü}$



$$R_w \ll R_{wü} \quad (10)$$

$$\parallel \quad \parallel$$

$$\frac{L}{\lambda \bar{A}} \ll \frac{1}{\alpha A}$$

Modell : $\bar{A} \cong A$... "Formfaktor"?

Biot – Zahl des Wärmeleitprozesses

$$(10) \quad \underline{\text{Bi} \doteq \frac{\alpha L}{\lambda} \ll 1}$$

Praktisches Kriterium :

$$\text{Bi} < 0,1 \quad (11A)$$

Integrale Temperaturmethode

Verallgemeinerung

Energieaustausch Körper Σ_{T_t} , Umgebung $\Sigma_{T_\infty}^*$:

1. Wärmeübertragung $\Sigma \leftrightarrow \Sigma^*, \alpha, \dot{Q}$

2. Wärmestrahlung $\Sigma \leftarrow \Sigma^*, \varepsilon, J_s$

3. Innere Wärmequellen / -senken Σ, Φ

Energiebilanz, Vgl. (1)

$$\dot{U} = \dot{Q} + J_s + \Phi \quad (12)$$

$$\dot{U} = c m \dot{T} \quad (4)$$

$$\dot{Q} = -\alpha A (T - T_\infty) \quad (2)$$

$$J_s = \frac{-\varepsilon \sigma A_s (T^4 - T_\infty^4)}{\quad} \quad \dots \text{Boltzmann} \quad (13)$$

Strahlungsgesetz

$$\sigma = 5,8 \cdot 10^{-8} \text{ W/m}^2\text{K} \quad \dots \text{Stefan - Boltzmann} \\ \text{Konstante}$$

$$0 \leq \varepsilon \leq 1 \quad \dots \text{Emissionsvermögen} \\ \text{des Körpers } \Sigma \\ \text{Stoffgröße}$$

$$\Phi = \frac{W}{m^3} \quad \dots \text{Wärmeerzeugung in } \Sigma.$$

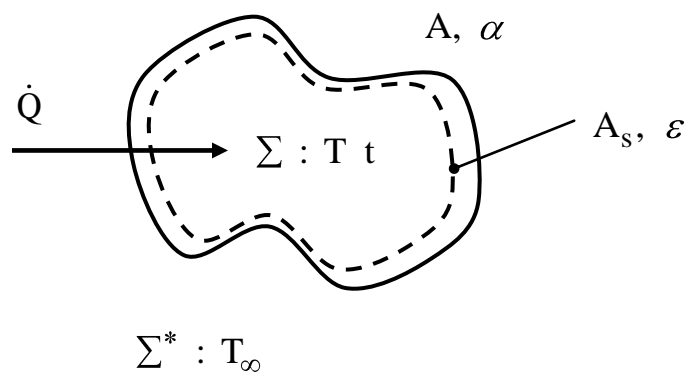
$$\begin{aligned}
 2,4A,12,13 \quad cm\dot{T} = & - \alpha A T - T_{\infty} & (15) \\
 & - \varepsilon\sigma A_s T^4 - T_{\infty}^4 \\
 & \underline{+ \Phi}
 \end{aligned}$$

ODE 1. Ordnung

Numerische Lösungsmethoden! (EDV)

Anwendung: Kühlvorgänge Metallschmelzen

Astronomie: Abkühlung Himmelskörper.



Aufgabe A22 etc.

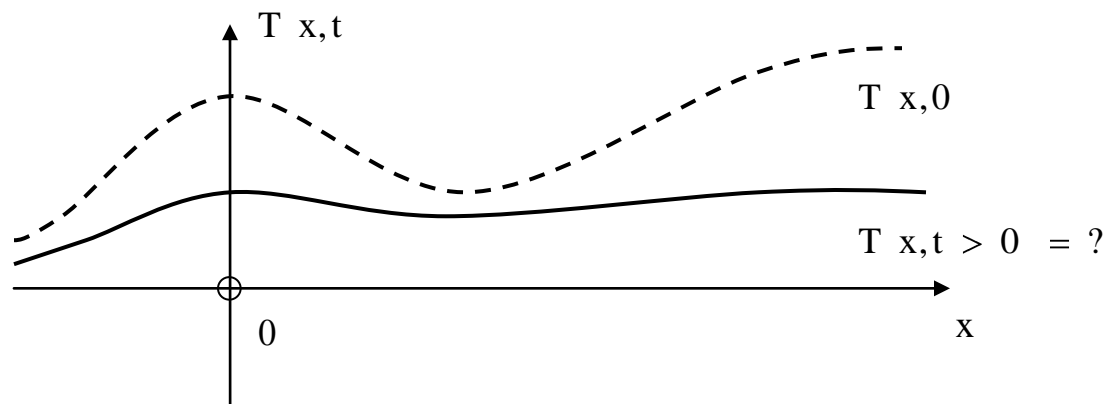
2. Lokale Temperaturleitungsgleichung

- 2a) Eindimensionale Probleme ohne Wärmequellen.
Der Wärmepol.

Anwendung:

Wärmeleitung und Temperatursausbreitung in Drähten,
Elektroleitungen, Seilen, Pfannenstielen,
Greifwerkzeugen, Löffeln etc.

Halbräumen (Erdreich, ruhende Gewässer)



Fragestellung:

Geg. Anfangsverteilung $t = 0$ der Temperatur im
ruhenden Medium: $T_0 = T(x,0)$

Ges.: Temperaturverteilung zu beliebigem späteren
Zeitpunkt $T = T(x,t)$, $t > 0$.

Temperaturleitungsgleichung (TLG) *)

$$\partial_t T(x,t) = a \partial_x^2 T(x,t) \quad (1)$$

Anfangsbedingung :

$$T(x,t=0) = T_0(x) \quad (2)$$

Randbedingung :

$$\lim_{x \rightarrow \infty} T(x,t) = T_\infty \quad \dots \text{alle } t \quad (3)$$

Linearität der TLG: Darstellung der Lösungsfunktion als Superponierung von Einzellösungen, sog. „Greenschen Funktionen“:

$$T(x,t) = \int_{-\infty}^{+\infty} \underbrace{T(\xi, t=0)}_{\text{Anfangsbedingung}} \underbrace{G(\xi - x, t)}_{\text{Green Funktion}} d\xi \quad (4)$$

*) Zeitverschiebungsinvarianz $t \rightarrow t - t_0$

Ortsverschiebungsinvarianz $x \rightarrow x - x_0$

Linearität in $T(x,t)$.

Green Funktion: Lösung der TLG (1) mit spezieller Anfangsbedingung:

$$1. \quad \partial_t G(x,t) = a \partial_x^2 G(x,t) \quad (5)$$

$$2. \quad \int_{x=-\infty}^{\infty} G(x,t) dx = 1 \quad \dots \text{alle } t \geq 0 \quad (6)$$

$$3. \quad \lim_{t \rightarrow 0} G(x,t) = \begin{cases} 0 \dots \text{alle } x \neq 0 \\ \infty \dots & x = 0 \end{cases} \quad (7)$$

$$\rightarrow G(x,t=0) = \delta(x) \quad (8)$$

Dirac Deltafunktion

Temperierte Distribution

$$(6) \quad \rightarrow \int_{x=-\infty}^{\infty} \delta(x) dx = 1 \quad (9)$$

$$\int_{-\infty}^{\infty} f(x) \delta(x - x_0) dx = f(x_0) \quad (10)$$

$\delta(x)$...Analogon zum Kronecker-Symbol δ_{ik}

$$\delta_{ik} = \begin{cases} 0 \dots \text{alle } i \neq k \\ 1 \dots & i = k \end{cases}$$

$$\rightarrow \sum_i a_i \delta_{ik} = a_k$$

Wegen Linearität und Zeitverschiebungsinvarianz von Gl. (1) sind mit $G(x, t)$ nach Gl. (5) auch folgende Funktionen Lösungen von (1):

$$G(\xi - x, t) \quad \dots \quad \xi = \text{const} \quad (11)$$

$$F(\xi) \cdot G(\xi - x, t), \quad (12a)$$

$$8,10 \quad \int_{\xi=-\infty}^{\infty} F(\xi) \cdot G(\xi - x, t) d\xi \quad (12b)$$

$$(12b) : t = 0 : \int_{\xi=-\infty}^{\infty} F(\xi) \cdot G(\xi - x, 0) d\xi$$

$$(8) \quad = \int_{\xi=-\infty}^{\infty} F(\xi) \cdot \delta(\xi - x) d\xi = F(x)$$

Spezielle Wahl :

$$F(x) = T(x, t) = 0$$

$$(12b) : \int_{-\infty}^{\infty} T(\xi, t) = 0 \cdot G(\xi - x, t) d\xi = T(x, t) \quad (4)$$

Lösungsfunktion, die wegen (8), (2), (3) erfüllt!

Bestimmung der Green Funktion $G(x,t)$ der TLG (1) nach (5-8):

Lösungsansatz:

$$G(x,t) = G(y(x,t)) \quad (13)$$

→ Umwandlung TLG (5) in ODE!

$$\text{Ansatz : } y(x,t) = \frac{x}{2\sqrt{at}}, \quad a = \text{const} \quad (14)$$

$$(13) \quad \frac{dG}{dy} = G'(y) \quad (15.1)$$

$$\frac{d^2G}{dy^2} = G''(y) \quad (15.2)$$

$$(13,14) \quad \partial_t G(y) = -\frac{1}{2t} \frac{x}{\sqrt{at}} G'(y) \quad (16)$$

$$\partial_x G(y) = \frac{1}{2\sqrt{at}} G'(y) \quad (17)$$

$$\partial_x^2 G(y) = \frac{1}{4at} G''(y) \quad (18)$$

$$(5),(16,18) \quad G''(y) = -2yG'(y) \dots \quad \text{G selbst kommt (19) nicht vor!}$$

Substitution: $G'(y) = W(y) = ?$ (20)

(19) $W'(y) = -2yW(y)$ (21)

(21) $W(y) = Ce^{-y^2}$ (22)

(20,22) $G(y) = G(0) + C \int_0^y e^{-u^2} du$ (23)

Grenzverhalten von $G(y)$ für $t \rightarrow 0$, d.h. $y \rightarrow \infty$:

(23) $G(\infty) = G(0) + C \underbrace{\int_0^{\infty} e^{-u^2} du}_{\frac{1}{2}\sqrt{\pi}}$ (24)

$$0 = G(0) + \frac{C}{2}\sqrt{\pi}$$

$$C = -\frac{2}{\sqrt{\pi}}G(0)$$

$$G(y) = G(0) \left(1 - \frac{2}{\sqrt{\pi}} \int_0^y e^{-u^2} du \right)$$

$x = 0$: $\lim_{t \rightarrow 0, x \rightarrow 0} \frac{x}{2\sqrt{at}} = y \dots$ beliebig

$G(\infty) = G(0) \neq \infty \dots$ falsches Grenzverhalten
für $t = 0$, $x \rightarrow 0$!

Mit (23) ist auch $\partial_x G_y$ eine Lösung von (5)!

$$G_{0, x, t} = \partial_x G_y = \frac{C}{2\sqrt{at}} e^{-x^2/4at} \quad (25)$$

(25) erfüllt Grenzbedingungen (7)!

Bestimmung von C über Normierungsbedingung (6) :

$$\int_{-\infty}^{+\infty} G_{0, x, t} dx = \frac{C}{2\sqrt{at}} \int_{-\infty}^{+\infty} e^{-x^2/4at} dx = 1 \quad (26)$$

$$\int_{-\infty}^{+\infty} e^{-u^2} du = \sqrt{\pi} \quad (27)$$

$$(26,27) \quad C = \frac{1}{\sqrt{\pi}} \quad (28)$$

$$(25,28) \quad \underline{G_{0, x, t} = \frac{1}{2\sqrt{\pi at}} e^{-x^2/4at}} \quad (29)$$

$$\lim_{t \rightarrow 0} G_{0, x, t} = \begin{cases} 0 & \dots x \neq 0 \\ \infty & \dots x = 0 \end{cases} \quad \dots \quad (7)$$

Allg. Lösung der TGL zur Anfangsbedingung $T_{\underline{x},t} = 0$:

$$\underline{T}_{\underline{x},t} = \frac{1}{2\sqrt{\pi at}} \int_{-\infty}^{+\infty} T_{\xi,t} = 0 e^{-\frac{\xi-x^2}{4at}} d\xi \quad (30)$$

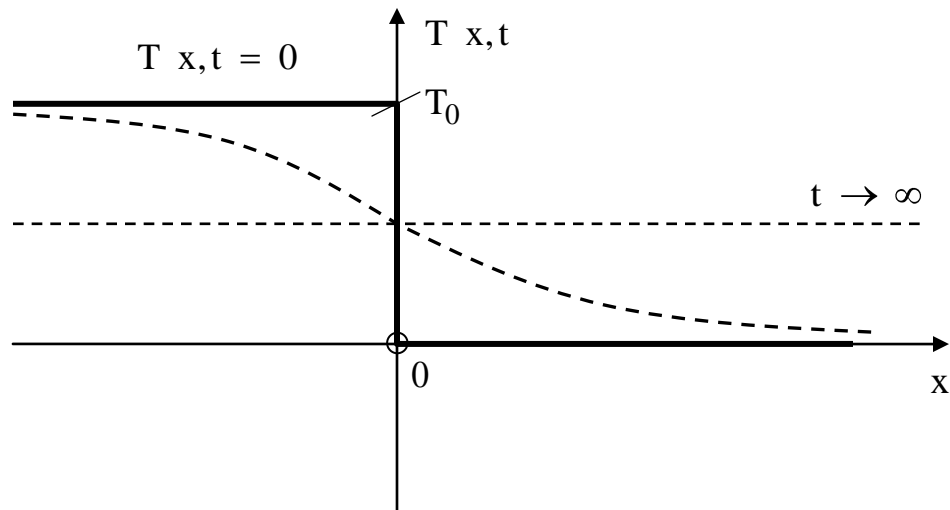
Erweiterung von (30) auf 3 – dimensionales Kontinuum (isotrop) ohne „Ränder“:

$$\underline{T}_{\underline{x},t} = \frac{1}{2^3 \pi at^{3/2}} \iiint_{-\infty}^{\infty} T_{\underline{X},t} = 0 \cdot \exp\left\{-\frac{\xi-x^2}{4at} - \frac{\eta-y^2}{4at} - \frac{\zeta-z^2}{4at}\right\} d\xi d\eta d\zeta$$

$$\underline{x} = x, y, z$$

$$\underline{X} = \xi, \eta, \zeta$$

Beispiel: Ausbreitung Temperaturfront im Halbraum ($x > 0$)



$$T_{x,t=0} = \begin{cases} T_0 > 0 & \dots x < 0 \\ 0 & \dots x > 0 \end{cases} \quad (31)$$

$$(30),(31) \quad T_{x,t} = \frac{T_0}{2\sqrt{\pi at}} \int_{-\infty}^0 e^{-\frac{\xi-x}{4at}} d\xi \quad (32)$$

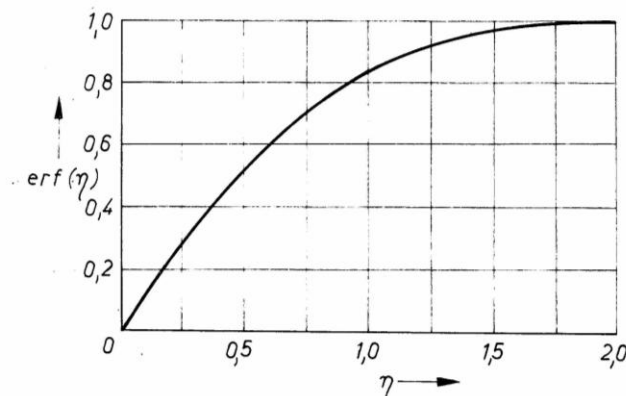
$$\xi - x = u \quad , \quad d\xi = -du$$

$$(32) \quad T_{x,t > 0} = \frac{T_0}{\sqrt{\pi}} \left(- \underbrace{\int_{\infty}^{x/2\sqrt{at}} e^{-\left(\frac{u}{2\sqrt{at}}\right)^2} d\left(\frac{u}{2\sqrt{at}}\right)}_{\int_{x/2\sqrt{at}}^{\infty} = \int_0^{\infty} - \int_0^{x/2\sqrt{at}}}$$

$$T_{x,t > 0} = \frac{T_0}{\sqrt{\pi}} \left(\frac{\sqrt{\pi}}{2} - \underbrace{\int_0^{x/2\sqrt{at}} e^{-w^2} dw}_{\frac{\sqrt{\pi}}{2} \operatorname{erf}\left(\frac{x}{2\sqrt{at}}\right)} \right) \quad (33)$$

$$T_{x,t > 0} = \frac{T_0}{2} \left(1 - \operatorname{erf}\left(\frac{x}{2\sqrt{at}}\right) \right) \quad (34)$$

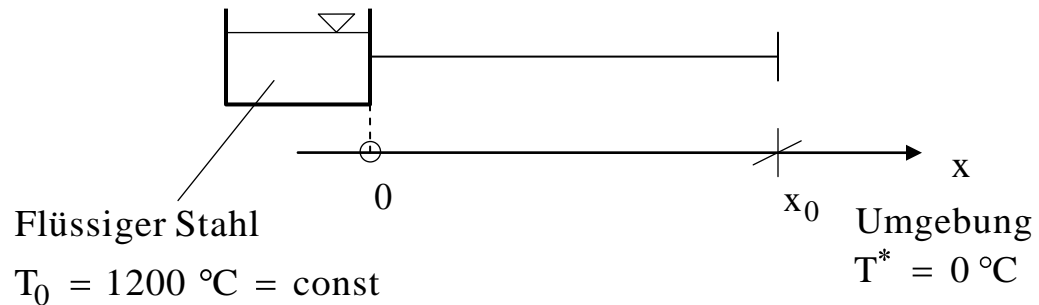
$$\operatorname{erf} z = \frac{2}{\sqrt{\pi}} \left(\frac{z}{1} - \frac{1}{1!} \frac{z^3}{3} + \frac{1}{2!} \frac{z^5}{5} - \dots \right) \quad (35)$$



Gaußsche Fehlerfunktion! (C.F. Gauß, 1777-1855)

Zahlenbeispiel

Stiel Keramiktiegel zur Entahme von Stahlproben aus Stahlfluss



$$x_0 = 2,5 \quad \text{m}$$

$$c = 0,4 \quad \text{kJ/kgK}$$

$$\rho = 7800 \quad \text{kg/m}^3$$

$$\lambda = 15 \quad \text{W/mK}$$

$$\rightarrow a = \frac{\lambda}{c\rho} = \frac{15 \text{ W} \cdot \text{kgK} \cdot \text{m}^3}{\text{mK} \cdot 0,4 \text{ kJ} \cdot 7800 \text{ kg}} = 4,8 \cdot 10^{-6} \quad \text{m}^2/\text{s}$$

a) Hat sich das Ende des Pfannenstiels nach 60s erwärmt?

$$T_{x_0, t_0 = 60\text{s}} = ?$$

$$\begin{aligned}
 (34) \quad T_{x_0, t_0 = 60\text{s}} &= \frac{T_0}{2} \left(1 - \operatorname{erf} \left(\frac{x_0}{2\sqrt{a \cdot t_0}} \right) \right) \\
 &= 600 \text{ °C} \left(1 - \operatorname{erf} \left(\frac{2,5\text{m}}{2 \sqrt{4,8 \cdot 10^{-6} \text{m}^2\text{s}^{-1} \cdot 60\text{s}} \cdot \frac{1}{2}} \right) \right) \\
 &= 0 \text{ °C}
 \end{aligned}$$

- b) In welchem Abstand vom Tiegel ist nach $t_0 = 60\text{s}$ die Temperatur $T_{x,t_0} \leq 60^\circ\text{C}$?
(Keine Verbrennungsgefahr!)

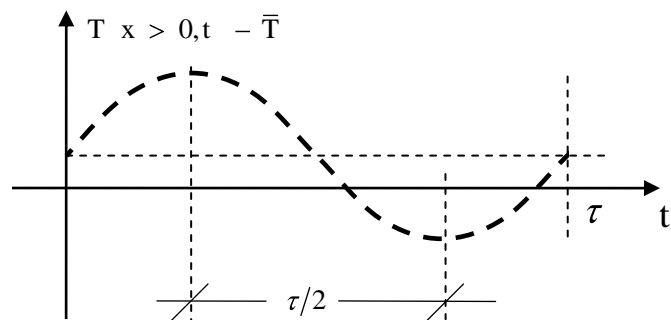
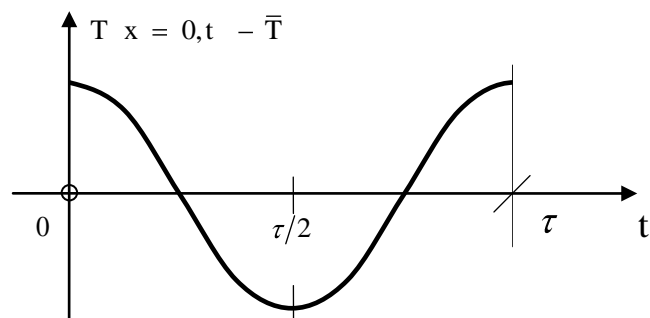
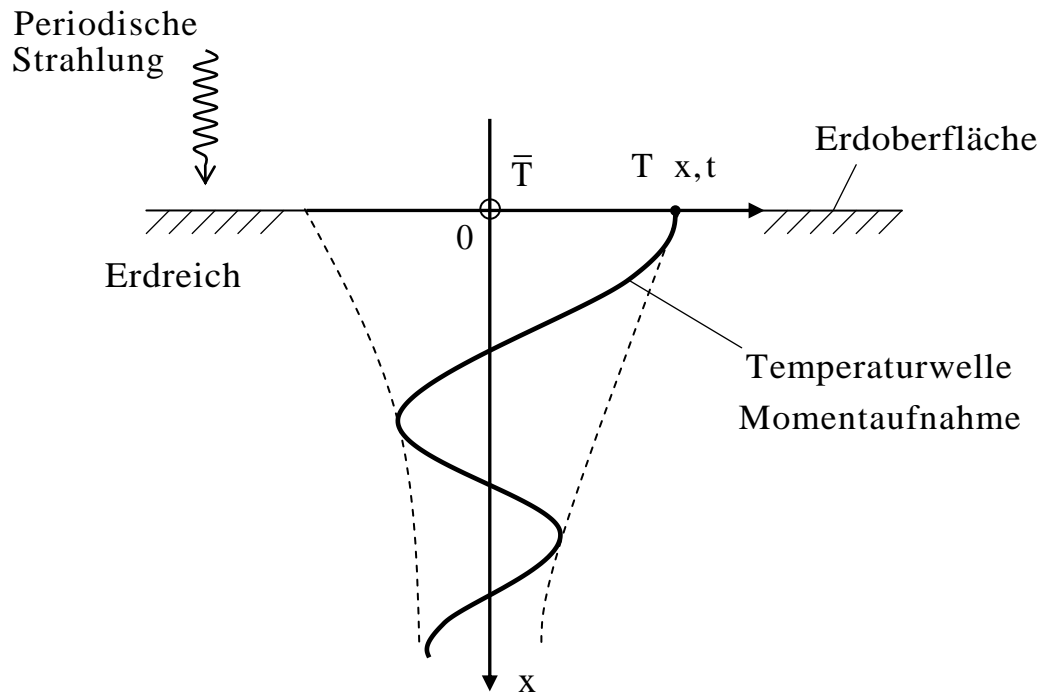
$$(34) \quad 60 = 600 \left(1 - \operatorname{erf} \left(\frac{x}{2 \sqrt{4,8 \cdot 10^{-6} \text{m}^2 \text{s}^{-1} \cdot 60 \text{s}}} \right) \right)$$

$$\operatorname{erf} \left(\frac{x}{2 \cdot 0,017} \right) = 0,9$$

Diagramm : $x = 4,7\text{cm}$.

2b) Eindimensionale Wärmeleitprobleme ohne Quellen.

Temperaturwellen im Erdreich durch Sonnenstrahlung



$\bar{T} = \text{const}$... Jahresmitteltemperatur an Erdoberfläche

Abkürzung: $\theta_{x,t} = T_{x,t} - \bar{T}$ (36)

geg.: Temperaturänderungen an Erdoberfläche und in großer
Tiefe $x \rightarrow \infty$

1) $x = 0$: $\theta_{x=0,t} = \theta_0 \cos \Omega t$ (37)

$$\Omega = 2\pi\nu = \frac{2\pi}{\tau} \quad (38)$$

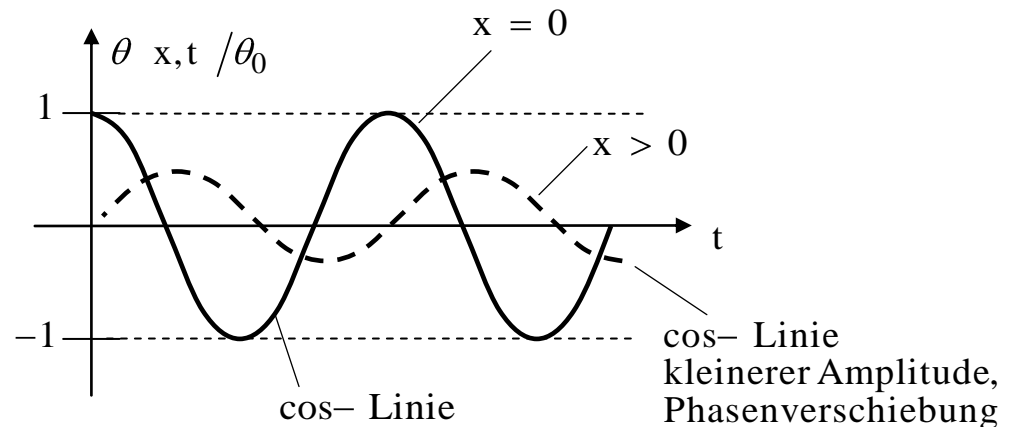
τ ... Schwingungsdauer 1d, 1a etc.

2) $x \rightarrow \infty$ $\theta_{x \rightarrow \infty,t} = 0$... alle t (39)

ges.: Temperaturänderungen im tiefen Erdreich
 $\theta_{x,t} = ?$

Temperaturleitungsgleichung (TLG):

$$\partial_t \theta_{x,t} = a \partial_x^2 \theta_{x,t} \quad (40)$$



Lösung von (40) mit Randbedingungen (37), (39):

→ Produktansatz

Aufbau vollständiges Funktionensystem

→ Reihenentwicklung der Lösungsfunktion nach diesem System.

Literatur: Carslaw H.S., Jaeger J.C.,
 Conduction of Heat in Solids
 Clarendon Press, 2nd Ed., 1965, Oxford, UK.

$$\theta_{x,t} = f_x \cdot g_t \quad (41)$$

$$\dot{g} = \frac{dg}{dt}$$

$$f' = \frac{df}{dx}$$

$$(40) \rightarrow \frac{\dot{g}}{g} = a \frac{f''}{f} = A = \text{const} \dots \text{Komplexität!}$$

$$a) \quad \dot{g} - Ag = 0$$

$$g_t = C e^{At}, \quad A \dots \text{komplex!} \quad (42)$$

$$b) \quad f'' - \frac{A}{a} f = 0$$

$$f_x = C_1 e^{\kappa x} + C_2 e^{-\kappa x} \quad (43)$$

$$\kappa = \sqrt{\frac{A}{a}} \quad (44)$$

$$(41 - 43) \quad \theta_{x,t} = e^{At} C_1 e^{\kappa x} + C_2 e^{-\kappa x} \quad (45)$$

Elementarlösung der TLG (40)

Allg. Lösung durch Superponierung von Elementarlösungen;

$$\theta_{x,t} = \sum_{\alpha=1}^{\infty} \left[e^{-A\alpha t} C_{1\alpha} e^{\kappa\alpha x} + C_{2\alpha} e^{-\kappa\alpha x} \right] \quad (46)$$

$C_{1\alpha}, C_{2\alpha}$ beliebige Konstante

$$\theta_{x=0,t} = \sum_{\alpha} e^{-A\alpha t} C_{1\alpha} + C_{2\alpha} \quad (46A)$$

Randbedingung (37):

Reduktion $\left(\sum_{\alpha}^{\infty} \right)$ auf 2 Terme!

$$\begin{aligned} \theta_{x=0,t} &= \theta_0 \cos \Omega t \\ &= \frac{\theta_0}{2} e^{i\Omega t} + e^{-i\Omega t} \end{aligned} \quad (46B)$$

$$(46A,B) : A_1 = i\Omega \quad , \quad A_2 = -i\Omega \quad (47)$$

$$(44) \rightarrow \kappa_1 = \sqrt{\frac{i\Omega}{a}} = \sqrt{\frac{\Omega}{2a}} (1 + i) \quad (48)$$

$$\kappa_2 = \sqrt{\frac{-i\Omega}{a}} = \sqrt{\frac{\Omega}{2a}} (-1 + i)$$

$$k = \sqrt{\frac{\Omega}{2a}} \quad \dots \quad \text{Wellenzahl} \quad (49)$$

$$\lambda = \frac{2\pi}{k} \quad \dots \quad \text{Wellenlänge} \quad (50)$$

$$(46 - 49) \quad \theta_{x,t} = \frac{\theta_0}{2} e^{i\Omega t} \begin{pmatrix} c_{11} e^{1+i kx} + c_{21} e^{-1+i kx} \\ 0 \qquad \qquad \qquad 1 \end{pmatrix} \\ \frac{\theta_0}{2} e^{-i\Omega t} \begin{pmatrix} c_{12} e^{-1+i kx} + c_{22} e^{-1+i kx} \\ 1 \qquad \qquad \qquad 0 \end{pmatrix} \quad (51)$$

$c_{\alpha\beta}$... beliebig wählbar!

$$(51) \quad \theta_{x,t} = \theta_0 e^{-kx} \cos \Omega t - kx \quad (52)$$

Gedämpfte Welle ins Erdreich!

Hinweis: Lösungsansatz (52) mit unbekanntem k führt über TLG (40) auf die „Dispersionsrelation“ (49)!

(Differenzieren von (52): Abkürzungen verwenden!)

Eindringtiefe ξ der θ -Welle:

$$D : \quad |\theta_{\xi,t}| \leq \frac{\theta_0}{2} \\ \theta_0 e^{-k\xi} = \frac{\theta_0}{2} \\ \xi = \frac{\ln 2}{k} = \ln 2 \cdot \sqrt{\frac{2a}{\Omega}} \quad (53)$$

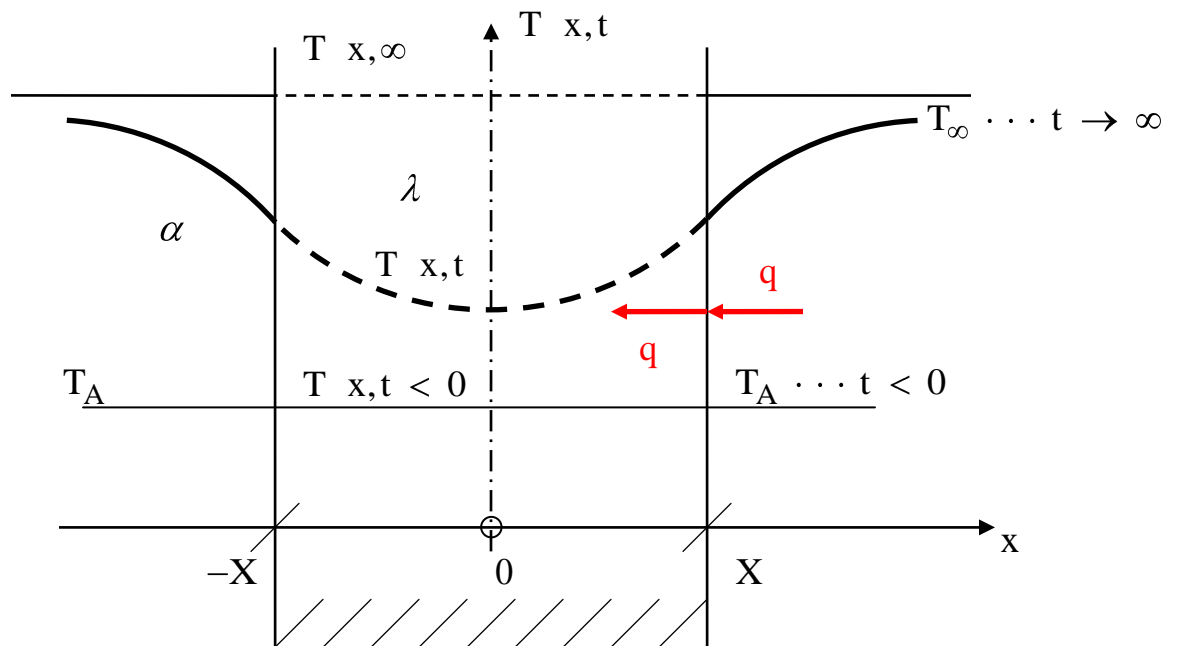
$$\rightarrow \quad \frac{\xi_1}{\xi_2} = \sqrt{\frac{\Omega_2}{\Omega_1}} = \sqrt{\frac{\tau_1}{\tau_2}}$$

$$\text{Beispiele : } \tau_1 = 1d, \quad \tau_2 = 1a = 365d, \quad \frac{\xi_1}{\xi_2} \cong \frac{1}{19}$$

Erwärmung/Abkühlung von Platten und Zylinder

Instationäre eindimensionale Wärmeleitung

1. Methode nach Gröber
2. Näherungsmethode nach Schlünder



Ruhende Platte

Dicke :	$2X$	m
Dichte :	$\rho = \text{const}$	kg/m^3
Wärmekapazität :	$c = \text{const}$	kJ/kgK
Wärmeleitfähigkeit :	$\lambda = \text{const}$	W/Km
Wärmeübergangskof. :	$\alpha = \text{const}$	W/Km^2

1. Methode nach Gröber

Temperaturleitungsgleichung (1 Ortskoordinate (x)):

$$\partial_t T_{x,t} = a \partial_x^2 T_{x,t} \quad (1)$$

$$a = \frac{\lambda}{c\rho} > 0 \quad (2)$$

Umgebung T_u : Temperatursprung $T_A \rightarrow T_\infty$
zur Zeit $t = 0$.

$$|x| > X : \quad T_u = T_A = \text{const} \quad \dots \quad t < 0 \quad (3a)$$

$$T_u = T_\infty = \text{const} \quad \dots \quad t > 0 \quad (3b)$$

Anfangsbedingungen für Platte :

$$|x| < X : \quad T_{x,t} = T_A \quad \dots \quad t < 0 \quad (3c)$$

$$T_{x,\infty} = T_\infty \quad \dots \quad t \rightarrow \infty \quad (3d)$$

Bedingungen an Plattenoberflächen, Randbedingungen (RB)

$$|x| = X$$

Randbedingungen 1. Art:

$$T_0 \quad t = T_{x = \pm X, t} = T_u \quad t = \begin{cases} T_A & \dots & t < 0 \\ T_\infty & \dots & t > 0 \end{cases} \quad (4)$$

Oberflächentemperatur = Umgebungstemperatur

(4) entspricht extrem großer WÜ – Zahl $\alpha \rightarrow \infty$.

Randbedingung 2. Art

Wärmestrom durch **Oberfläche** ist gemäß Fourier bestimmt durch:

a) WÜ bei $x = \pm X$, $A = 1$

$$q = \alpha (T_u - T_0) \quad (5)$$

$$T_0(t) \doteq T(x = \pm X, t)$$

b) WL in Platte bei $x = \pm X$

$$q = -\lambda \left(\frac{\partial T}{\partial x} \right)_{x=\pm X} \quad (6)$$

Energiehaltung (5), (6):

$$\frac{-\frac{\lambda}{\alpha} \left(\frac{\partial T}{\partial x} \right)_{x=\pm X} + T_0 t}{} = T_u t \quad (7)$$

Spezialfall von (7) für Temperatursprung (3):

$$-\frac{\lambda}{\alpha} \left(\frac{\partial T}{\partial x} \right)_{x=\pm X} = 0 \quad \dots \quad t < 0 \quad (8)$$

$$-\frac{\lambda}{\alpha} \left(\frac{\partial T}{\partial x} \right)_{x=\pm X} + T_0 t = T_\infty \dots \quad t > 0$$

Randwärmestrom

Randtemperatur

Für $\alpha \rightarrow \infty$ geht RB (8) in RB (4) über.

Formulierung des Randwertproblems (1-3,8) in dimensionslosen Koordinaten.

$$\xi = \frac{x}{X} \quad \dots \quad -1 < \xi < 1 \quad (9)$$

$$\tau = \frac{a}{X^2} t \quad \dots \quad \text{Fourier - Zeit} \quad (10)$$

Reduzierte Temperatur

$$\theta_{\xi, \tau} = \frac{T_{x,t} - T_{\infty}}{T_A - T_{\infty}} \leq 1 \quad (11)$$

$$(9) : dx = X d\xi \quad (12)$$

$$(10) : dt = \frac{X^2}{a} d\tau \quad (13)$$

$$(1,9 - 11) : \quad \partial_{\tau} \theta = \partial_{\xi}^2 \theta \quad (14)$$

$$(8,9 - 11) : \quad \partial_{\xi} \theta \Big|_{|\xi|=1} = 0 \quad \dots \quad \tau < 0 \quad (15a)$$

$$-\frac{1}{\text{Bi}} \underbrace{\partial_{\xi} \theta \Big|_{|\xi|=1}}_{\text{Steigung } \theta_{1,\tau} \text{ am Rand}} + \theta_0 \tau = 0 \quad \dots \quad \tau > 0 \quad (15b)$$

Ankathete, Red. Wandtemperatur

Biozahl:

$$\text{Bi} = \frac{\alpha X}{\lambda} \quad (16)$$

Reduzierte Oberflächentemperatur

$$\theta_0 t = \theta t, \xi = \pm 1 = \frac{T_0 t - T_\infty}{T_A - T_\infty} \quad (17)$$

Randwertproblem (14,15) nur numerisch über Reihenentwicklungen lösbar.

Ergebnisse darstellbar in **Gröber – Diagrammen**

mit 1 Systemparameter (Bi). → Folgeseiten.

Thermische Mitteltemperatur der Wand (V):

$$\bar{T} t = \frac{\int_V \rho c T_{x,t} dV}{\int_V \rho c dV} \quad (18)$$

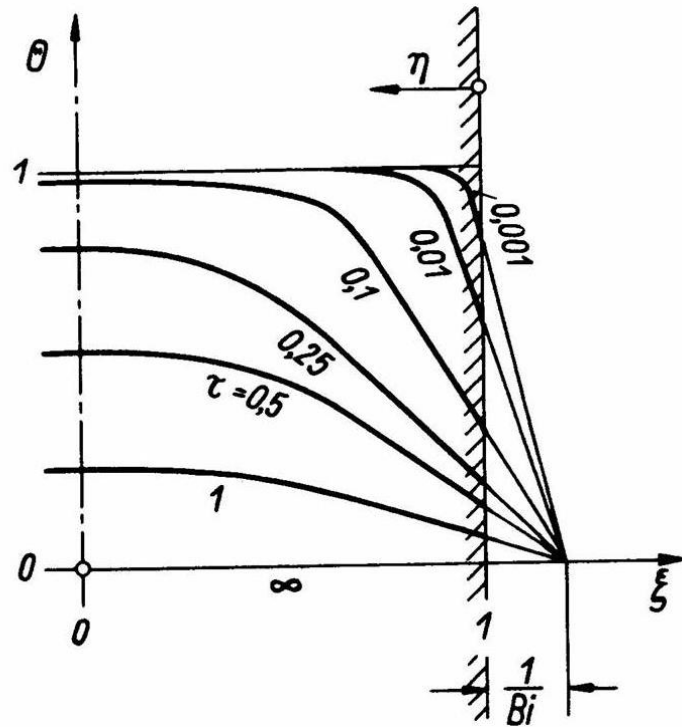
$$\bar{\theta} t = \frac{\bar{T} t - T_\infty}{T_A - T_\infty} \quad (18A)$$

$$\bar{\theta} \tau = \int_0^1 \theta \xi, \tau d\xi \quad (18B)$$

Vom Körper in (0,t) aufgenommene Wärme:

$$\dot{Q} t = \rho c V (T_\infty - T_A) (1 - \bar{\theta} t) \quad (19)$$

Figuren G1, G2, G3, G4, G5, G6, G7



Instationäres Temperaturfeld Erwärmen/Kühlen

Platte: Dicke $2X$, $\xi = \frac{x}{X}$

Zylinder: Durchmesser $2R$, $\xi = \frac{r}{R}$

Figur G1: Temperaturfeld θ ξ, τ, Bi einer Platte bei der Randbedingung 3. Art

Zusammenfassung

Beschreibung des Erwärmungs- / Abkühlungsvorganges der Platte durch reduzierte Temperaturen und Diagramme:

Dimensionslose Koordinaten

$$0 \leq \xi = \frac{x}{X} \leq 1$$

Fourier Zeit

$$\tau = \frac{at}{X^2}$$

Biot – Zahl der Platte :

$$Bi = \frac{\alpha X}{\lambda}$$

Reduzierte Temperatur

$$\theta_{\xi, \tau} = \frac{T_{x,t} - T_{\infty}}{T_A - T_{\infty}}$$

Oberflächentemperatur

$$\theta_{\tau} = \theta_{\xi=1, \tau} = \frac{T_{X,t} - T_{\infty}}{T_A - T_{\infty}}$$

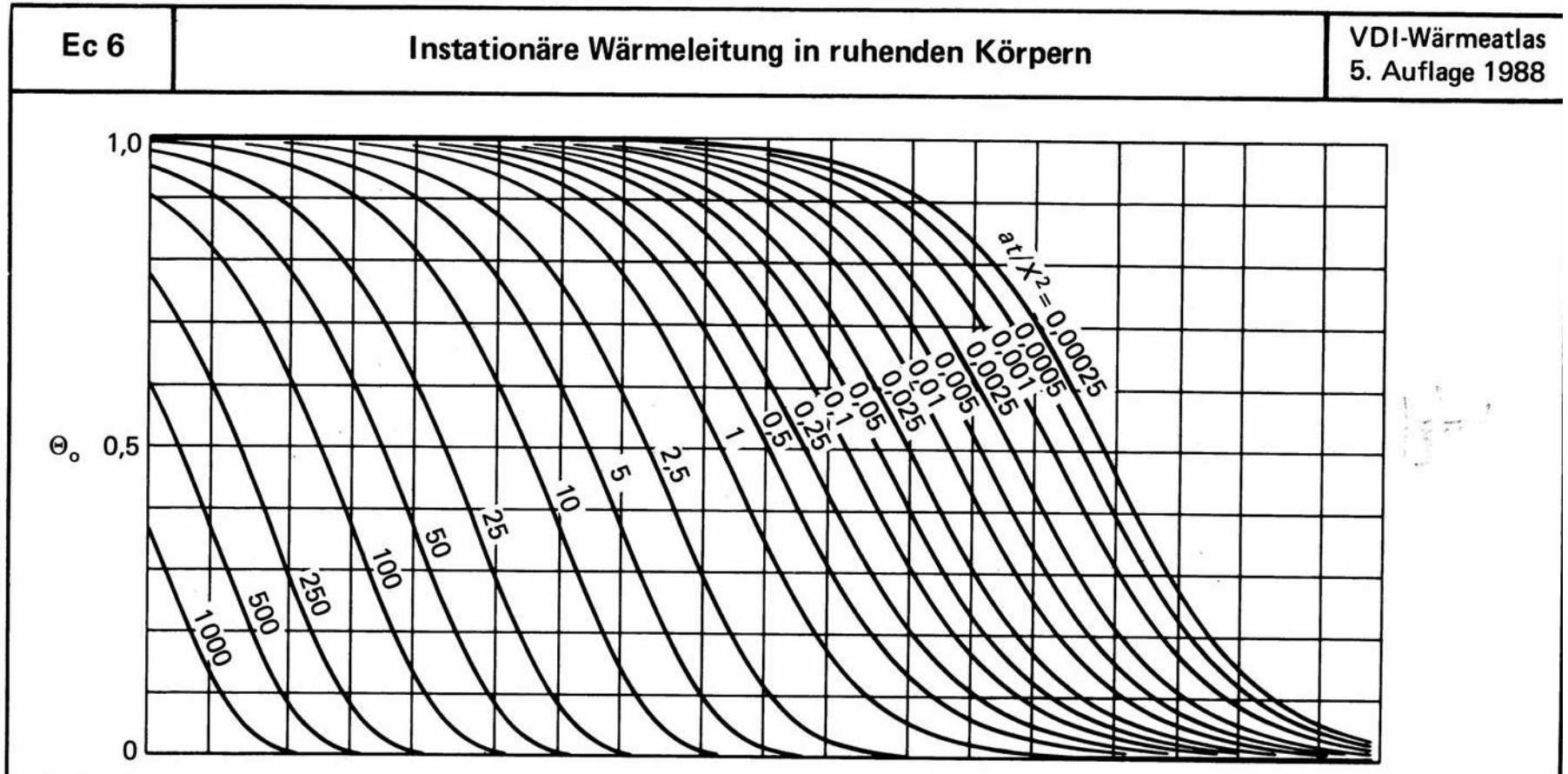
Mitten – oder Achsentemperatur

$$\theta_m = \theta_{\xi=0, \tau} = \frac{T_{0,t} - T_{\infty}}{T_A - T_{\infty}}$$

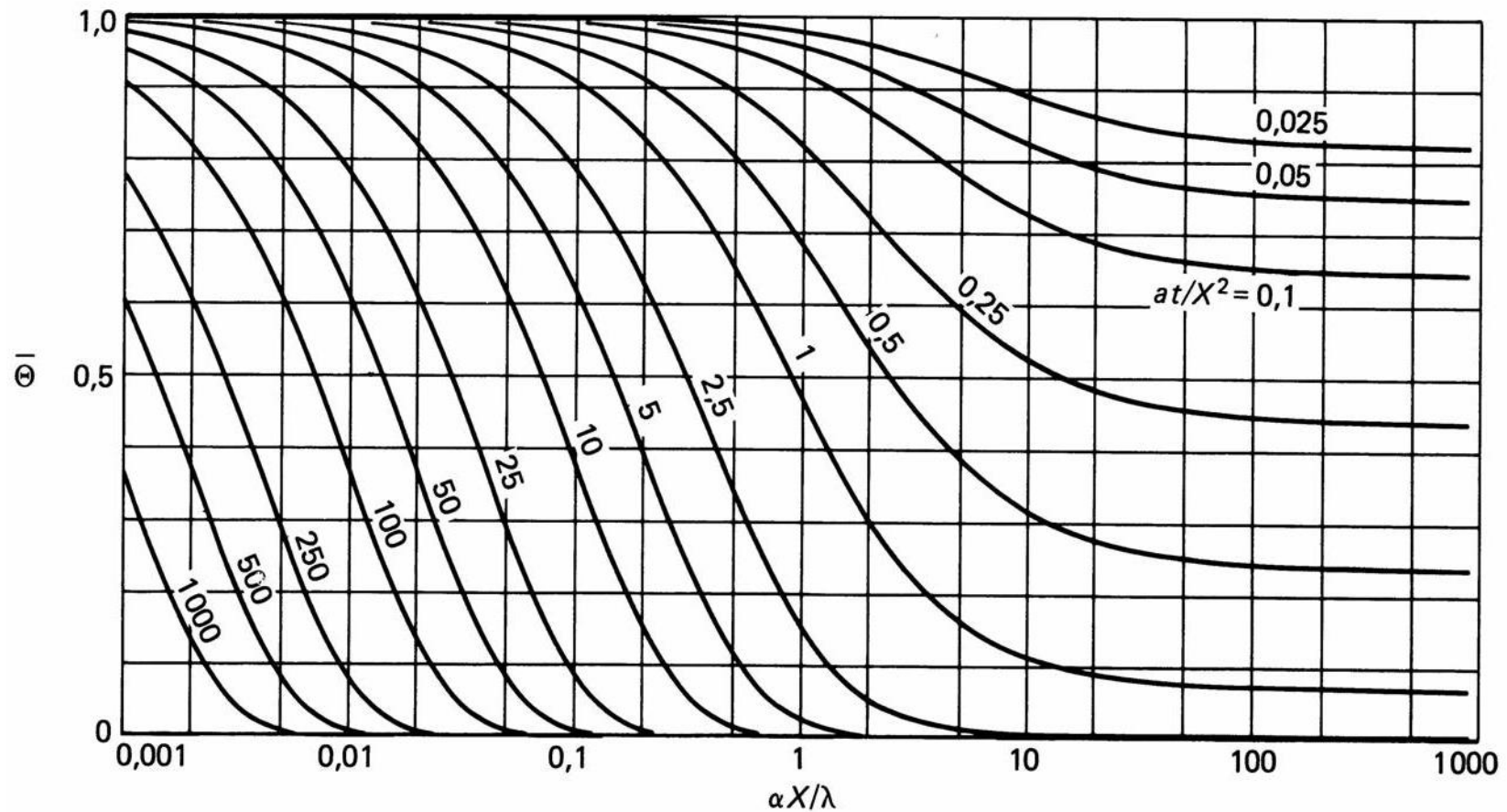
Thermische Mitteltemperatur

$$\bar{\theta} = \frac{\bar{T} - T_{\infty}}{T_A - T_{\infty}}$$

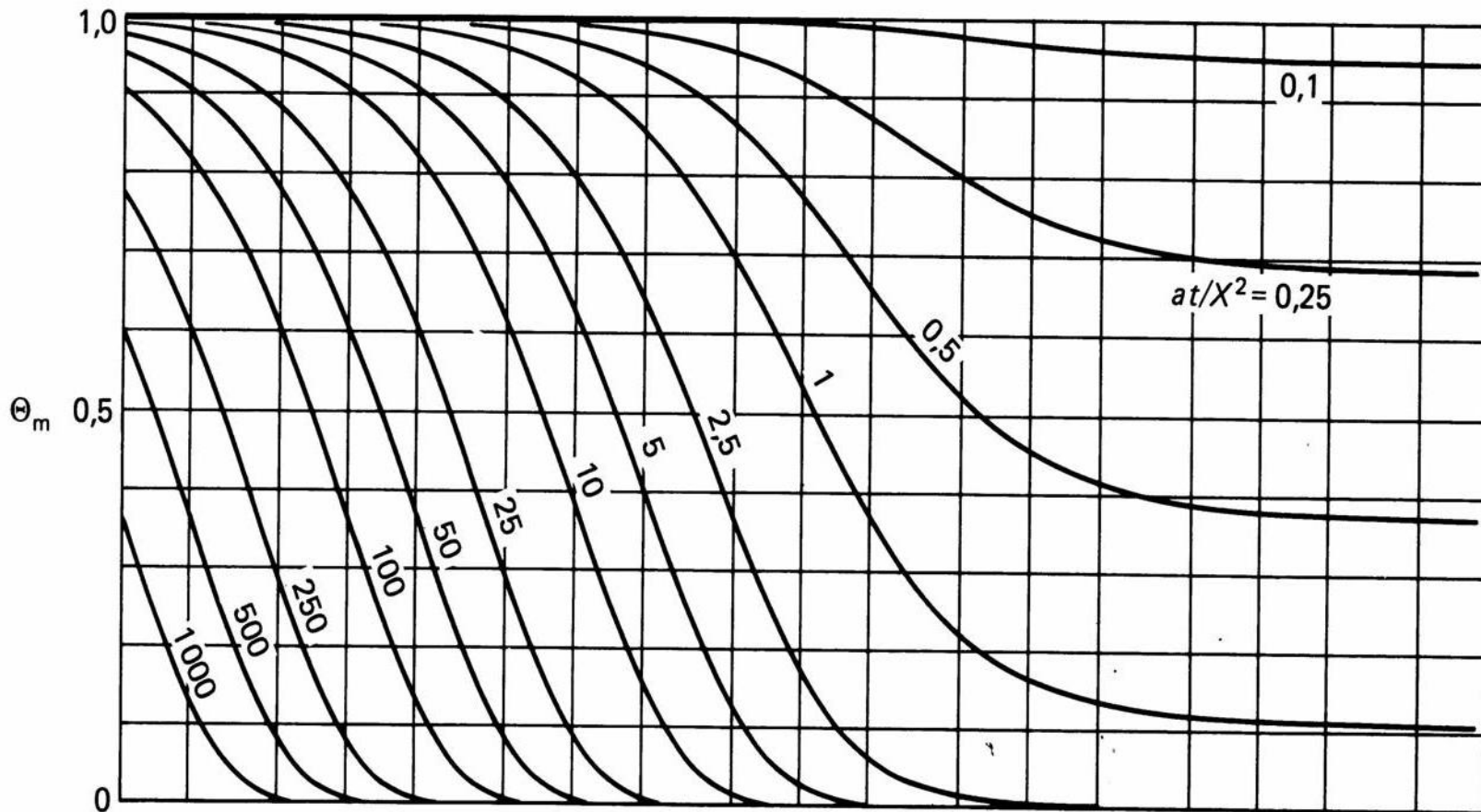
Diagramme : $\theta_{\dots} = \theta_{\dots}(Bi, \tau)$
 $\dots = 0, m, -$



Figur G2: Normierte Oberflächentemperatur einer ebenen Platte als Funktion der Biot-Zahl $Bi = \alpha X / \lambda$. Plattendicke: $2X$.



Figur G3: Normierte kalorische Mitteltemperatur $\bar{\theta}$ einer ebenen Platte als Funktion der Biot-Zahl $Bi = \alpha X/\lambda$. Plattendicke: $2X$



Figur G4: Normierte Mittentemperatur θ_m einer ebenen Platte als Funktion der Biot-Zahl $Bi = \alpha X / \lambda$. Plattendicke: $2X$

Zylinder $d = 2R$

Erwärmung / Abkühlung

Analoge Behandlung wie Festplatte.

Dimensionslose Koordinaten

$$\xi = \frac{r}{R}$$

Fourier Zeit

$$\tau = \frac{at}{R^2}$$

Biot – Zahl

$$Bi = \frac{\alpha R}{\lambda}$$

Reduzierte Temperatur

$$\theta_{\xi, \tau} = \frac{T_{r,t} - T_{\infty}}{T_A - T_{\infty}}$$

Oberflächentemperatur

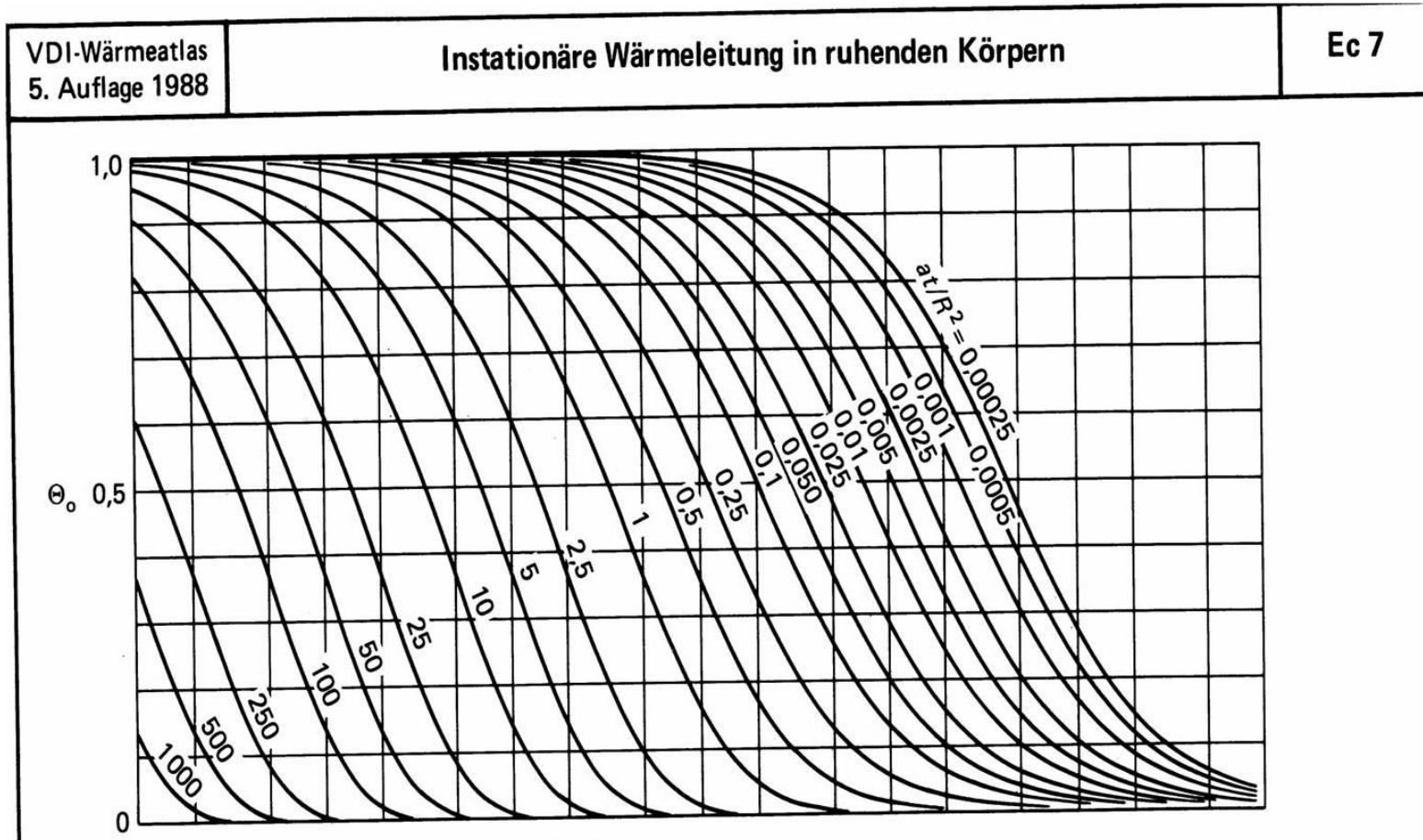
$$\theta_{0, \tau} = \theta_{\xi = 1, \tau} = \frac{T_{R,t} - T_{\infty}}{T_A - T_{\infty}}$$

Mitten – oder Außentemperatur

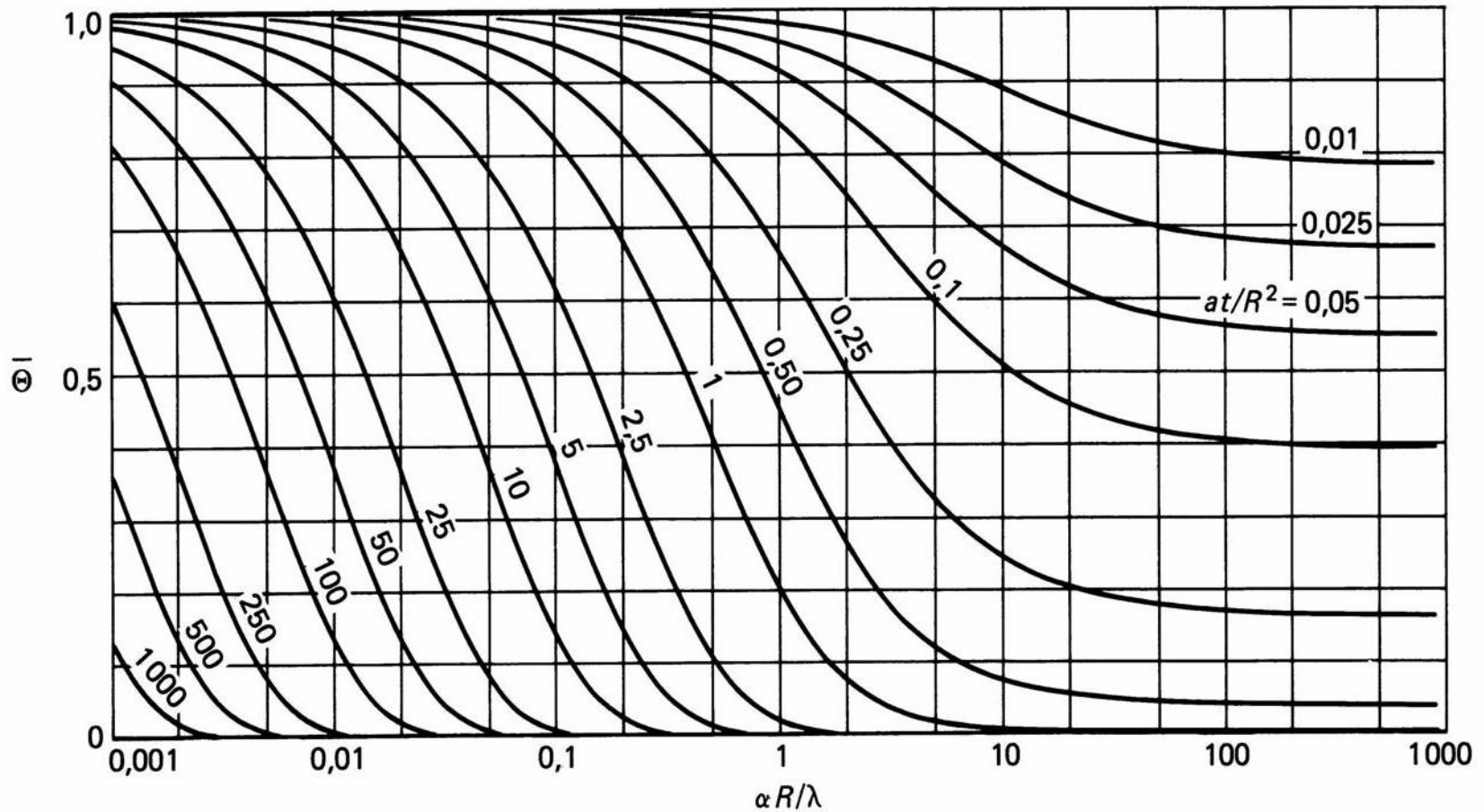
$$\theta_{m, \tau} = \theta_{\xi = 0, \tau} = \frac{T_{r=0,t} - T_{\infty}}{T_A - T_{\infty}}$$

Thermische Mitteltemperatur

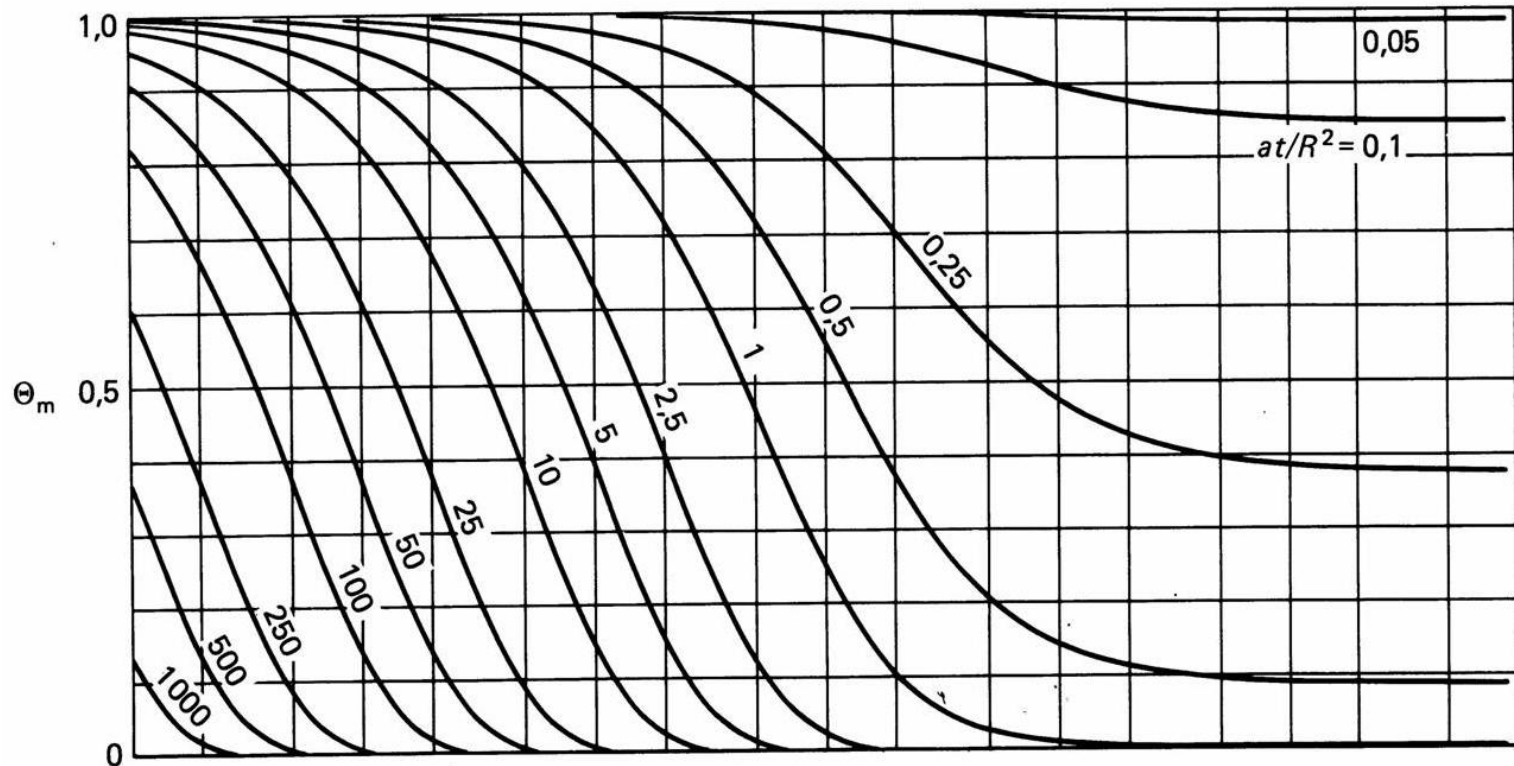
$$\bar{\theta}_{\tau} = \frac{\bar{T}_t - T_{\infty}}{T_A - T_{\infty}}$$



Figur G5: Normierte Oberflächentemperatur θ_0 eines Zylinders als Funktion der Biot-Zahl $Bi = \alpha R / \lambda$. Zylinderdurchmesser: $2R$.



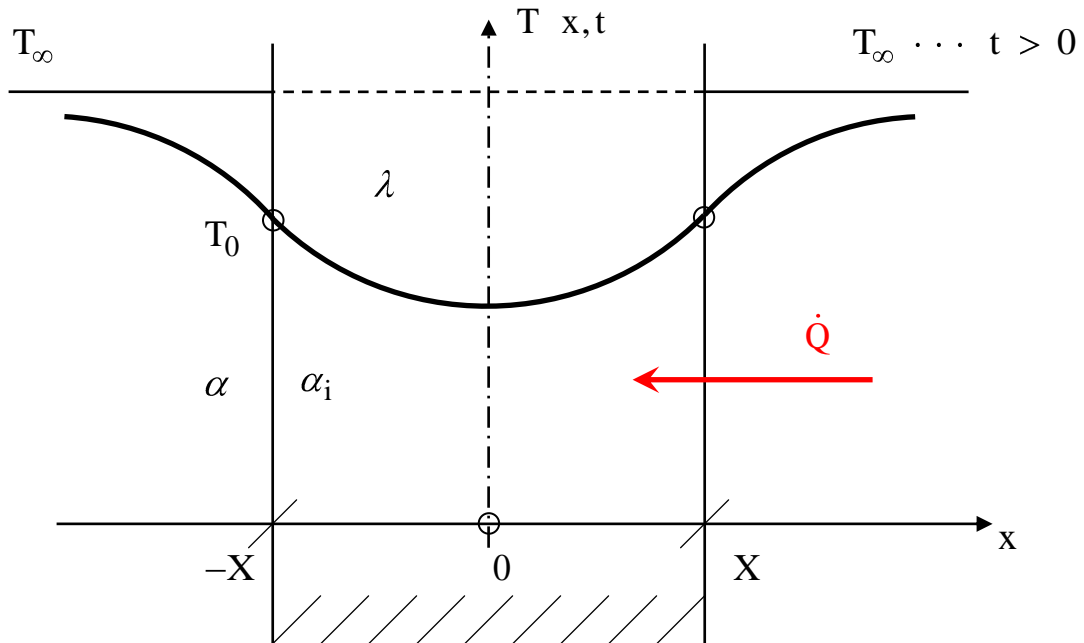
Figur G6: Normierte thermische Mitteltemperatur $\bar{\theta}$ eines Zylinders als Funktion der Biot-Zahl $Bi = \alpha R / \lambda$. Zylinderdurchmesser: $2R$.



Figur G7: Normierte Temperatur θ_m auf der Achse eines Zylinders als Funktion der Biot-Zahl $Bi = \alpha R / \lambda$. Zylinderdurchmesser: $2R$

2. Näherungsmethode nach Schlünder

Erwärmung / Abkühlung einer ebenen Wand



$T_0(t) = T(x = \pm X, t)$
Randtemperatur

Einführung eines fiktiven
Innern Wärmeübergangskoeffizienten α_i
der Platte gemäß

$$\dot{Q}(t) = \alpha_i A (T_0(t) - \bar{T}(t)) \quad (21)$$

$\bar{T}(t)$: Thermische Mitteltemperatur (18)

Beachte: $\alpha_i(t)$ ist grundsätzlich aus Lösung des Randwertproblems
(14,15) gemäß (17-19) numerisch berechenbar, wird im
Folgenden aber als konstanter Systemparameter angesehen.

Äußerer Wärmeübergang

$$\dot{Q} = \alpha A (T_\infty - T_0) \quad (22)$$

Energiebilanz & Kalorische Zustandsgleichung der Platte

$$\dot{Q} t = c\rho V \dot{\bar{T}} t \quad (23)$$

$$V = 2XA \quad (24)$$

Elimination von \dot{Q}, T_0 aus (21 – 23) gibt ODE für Mitteltemperatur $\bar{T} t$:

$$(21) \quad T_0 = \bar{T} + \frac{\dot{Q}}{\alpha_i A}$$

$$(22) \quad T_0 = T_\infty - \frac{\dot{Q}}{\alpha A}$$

$$\dot{Q} \underbrace{\left(\frac{1}{\alpha_i A} + \frac{1}{\alpha A} \right)}_{1/kA} = T_\infty - \bar{T}$$

$$(23) \quad c\rho V \dot{\bar{T}} = kA (T_\infty - \bar{T})$$

$$\frac{1}{k} = \frac{1}{\alpha_i} + \frac{1}{\alpha} = \text{const} \dots \text{Modell!} \quad (25)$$

$$\bar{T} - T_\infty \cdot = -\frac{kA}{c\rho V} (\bar{T} - T_\infty) \quad (26)$$

$$\underline{\bar{T} t - T_\infty = T_A - T_\infty e^{-\frac{kA}{c\rho V} t}} \quad (27)$$

Mitteltemperaturdifferenz $\bar{T} - T_\infty$ nimmt unter der Voraussetzung (25) zeitlich exponentiell ab!

Exponent in Gl. (27): Umformung auf dimensionslose Größen:

$$\tau = \frac{at}{X^2} = \frac{\lambda t}{c\rho X^2}$$

$$\text{Bi} = \frac{\alpha X}{\lambda}$$

$$V = 2AX$$

(25),(27)

$$\frac{kAt}{c\rho V} = \frac{1}{\frac{1}{\alpha_i} + \frac{1}{\alpha}} \frac{\cancel{A} \cancel{c\rho} X^2}{\lambda \cancel{c\rho} 2AX} \tau = \frac{\tau}{2 \left(\frac{1}{\text{Nu}_i} + \frac{1}{\text{Bi}} \right)} \quad (28)$$

"Innere Nusselt – Zahl"

$$\text{Nu}_i = \frac{\alpha_i X}{\lambda} \quad (29)$$

Nu_i ist grundsätzlich eine Funktion der Zeit, kann aber näherungsweise als konstant angesehen werden.

Abklingverhalten der reduzierten Mitteltemperatur

$$0 \leq \bar{\theta} \tau = \frac{\bar{T} t - T_\infty}{T_A - T_\infty} \leq 1$$

$$(27) \quad \bar{\theta} \tau = \exp \left\{ - \frac{\tau}{2 \left(\frac{1}{\text{Bi}} + \frac{1}{\text{Nu}_i} \right)} \right\} = \exp \left(- \frac{\tau}{\tau_R} \right) \quad (30)$$

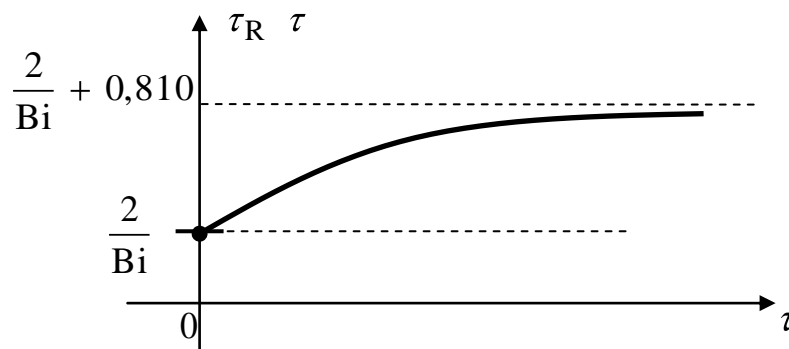
Näherungslösung für $Nu_i \tau$ für alle $\tau > 0$:

$$Nu_i^2 \tau = 6,09 + \frac{4}{\pi\tau} \quad (31)$$

$$\rightarrow \alpha_i \tau = \frac{\lambda}{X} \left(6,09 + \frac{4}{\pi\tau} \right)^{1/2} \quad (32)$$

(30): Thermische Mitteltemperatur steigt / fällt immer exponentiell mit zeitlich größer werdenden Relaxationszeit τ_R , vgl. (30):

$$(31): \tau_R \tau = 2 \left(\frac{1}{Bi} + \frac{1}{\left(6,09 + \frac{4}{\pi\tau} \right)^{1/2}} \right) \quad (33)$$



Eine analoge Lösung existiert für den Erwärmungsvorgang eines **Zylinderstabes**.

$X \rightarrow R$... Radius, α , λ , ρ , c

$$\bar{\theta} \tau = \exp \left\{ - \frac{2\tau}{\frac{1}{\text{Bi}} + \frac{1}{\text{Nui}}} \right\} \quad (34)$$

$$\text{Bi} = \frac{\alpha_a R}{\lambda}$$

$$\tau = \frac{at}{R^2} = \frac{\lambda t}{c\rho R^2}$$

$$\text{Nui}^2 = 8,36 + \frac{4}{\pi\tau}$$

Aufgaben A23, A24